

УДК 532.546:612.13

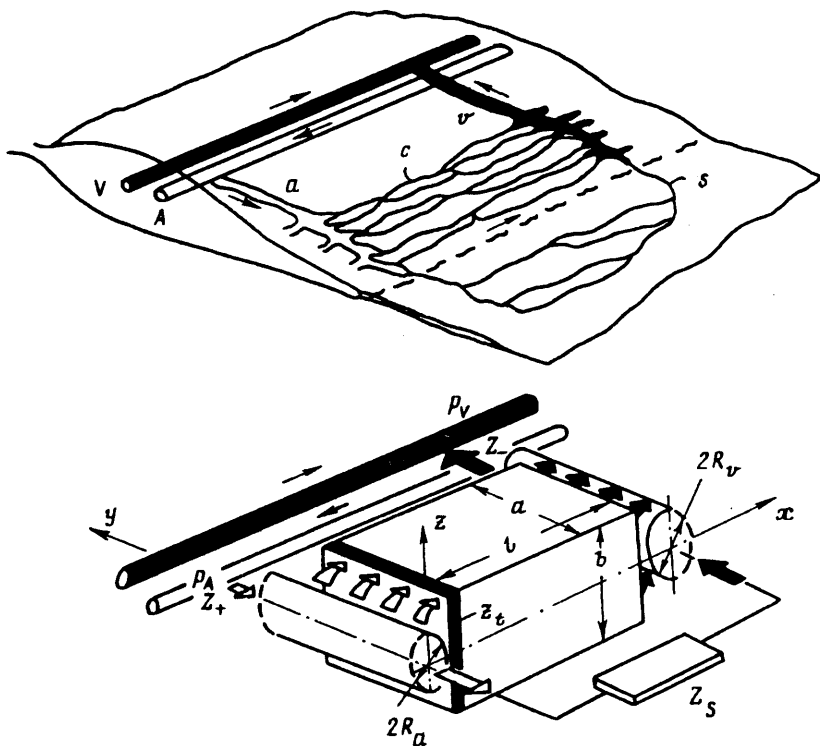
© 1993 г. В. А. ЕГОРОВ, С. А. РЕГИРЕР, Н. Х. ШАДРИНА

ТЕЧЕНИЕ КРОВИ  
В МИКРОСОСУДИСТОЙ СЕТИ МЫШЦЫ  
ПРИ РЕГУЛЯТОРНЫХ РЕАКЦИЯХ:  
КВАЗИСТАЦИОНАРНЫЕ ЗАДАЧИ

Наиболее распространенный прием моделирования русла резистивных кровеносных сосудов заключается в замене его одним «эквивалентным» сосудом, сопротивление и объем которого соответствуют значениям этих величин для русла. Во многих случаях этого достаточно, чтобы проводить качественные рассуждения, но по мере совершенствования методов эксперимента все чаще приходится сталкиваться с ситуациями, когда такая модель оказывается слишком бедной. Развиваемый в последнее время подход, использующий представление о микрососудистом модуле (типичном элементе русла), позволяет учесть наличие в сети сосудов нескольких различных типов, соединенных определенным образом, и тем самым сделать модель более реалистичной. Применительно к микрососудистой сети в скелетной мышце модель модуля («капиллярной ячейки») была предложена в [1—5]. Для того чтобы использовать эту модель в решении задач о регуляции кровотока, необходимо внести в нее ряд усовершенствований. Ниже представлено обсуждение постановки задач об управляемом движении крови в микрососудистом модуле скелетной мышцы, а также решение одной из таких задач.

**1. Общая постановка задачи.** На фиг. 1 схематически изображена принятая в данной работе гидродинамическая схема, соответствующая капиллярной ячейке в скелетной мышце. Каналы  $a$ ,  $v$  соответствуют питающей артериоле и отводящей венule, которые проходят поперек мышечных волокон. Через гидравлические сопротивления  $Z_+$ ,  $Z_-$  эти поперечные каналы связаны с сосудами  $A$ ,  $V$  более высокого порядка. Область с между поперечными каналами, принимаемая в форме прямоугольного параллелепипеда, считается заполненной пористым материалом и соответствует мышечной капиллярной сети. Пористая область отделена от питающего канала пренебрежимо малым по толщине слоем с гидравлическим сопротивлением  $z_r$ , соответствующим сопротивлению терминальных артериол (или мест застравания клеток [4]). Поперечные каналы соединяются между собой не только через пористый блок, но и через обходной путь  $s$  (шунт), который соответствует ветвящейся сети сосудов в соединительной ткани вне мышечных волокон и характеризуется сопротивлением  $Z_s$ .

Эта схема может быть применена не только к капиллярной ячейке, но и к более крупным элементам микрососудистой сети мышцы. Тогда поперечные каналы соответствуют параллельно идущим сосудам, артериальному и венозному, а пористый блок — совокупности соединяющих их микрососудов различных порядков. При этом детализация распределения параметров вдоль оси  $x$ , вообще говоря, теряет смысл и ее следует устраниить из уравнений (см. ниже). Отличие рассматриваемой здесь схемы от первоначально предложенной в [1, 2] заключается во введении дополнительных элементов (сопротивлений  $Z_\pm$ ,  $z_r$  и обходного пути) и, что наиболее важно, в учете зависимости параметров системы от времени и гидродинамических величин (давления, сдвиговых напряжений), дающем возможность анализа переходных процессов, в том числе регуляторных реакций.



Фиг. 1

Уравнения движения жидкости в поперечных каналах в квазиодномерном приближении запишем в виде

$$\frac{\partial Q_{a,v}}{\partial y} + \frac{\partial \pi R_{a,v}^2}{\partial t} = \mp 2bu \Big|_{x=0,l} \quad (1.1)$$

$$Q_{a,v} = -\frac{\pi R_{a,v}^4}{8\mu_{a,v}} \frac{\partial p_{a,v}}{\partial y} \quad (1.2)$$

Здесь  $Q_{a,v}$ ,  $p_{a,v}$  — локальные значения расхода и давления в каналах  $a$ ,  $v$  с радиусами  $R_a$ ,  $R_v$  соответственно,  $b$  — ширина пористого блока (размер вдоль оси  $z$ ),  $u$  — компонента скорости фильтрации (по оси  $x$ ) в пористом блоке; коэффициенты вязкости в каналах  $\mu_{a,v}$  имеют не зависящие от координат, но, вообще говоря, различные значения. Это означает, что из всех проявлений неньютоновских свойств жидкости (крови) здесь принимается во внимание только масштабный эффект Фареуса — Линдквиста [6].

Уравнения движения жидкости в пористом блоке записываются в приближении теории фильтрации с учетом того, что для капиллярной ячейки движение можно считать одномерным [1—3]

$$u = -\frac{k_x}{\mu} \frac{\partial p}{\partial x}, \quad \frac{\partial m}{\partial t} + \frac{\partial u}{\partial x} = 0 \quad (1.3)$$

Здесь  $k_x$ ,  $m$  — независимые, вообще говоря, проницаемость и пористость,  $\mu$  — эффективная вязкость жидкости. При моделировании не истинной капиллярной ячейки, а более крупного элемента микросудистой сети вместо (1.3) следует использовать подходящие разностные аналоги, оперирующие с граничными значениями  $u$ ,  $p$  при  $x = 0$ ,  $l$ , а также со средним давлением и объемом крови в

сосудах, соединяющих поперечные каналы. Если  $p_a >> p_v$ , то вместо первого уравнения (1.3) допустимо положить

$$u|_{x=0} = -Kp_a \quad (1.4)$$

и отыскание  $p_a, Q_a, R_a$  отделяется от решения остальных уравнений.

Эффективные коэффициенты вязкости  $\mu_{a,v}, \mu$  в до сих пор решавшихся задачах выбирались постоянными; исключение составляет работа [5], где учитывалась локальная зависимость вязкости от концентрации эритроцитов и система (1.1)–(1.3) дополнялась уравнениями, описывающими распределение эритроцитов. В принципе рамки обсуждаемой модели позволяют учитывать и более тонкие реологические эффекты путем задания зависимостей  $\mu_{a,v}, \mu$  от геометрических параметров и характеристик потока. Например, для учета эффекта Фареуса — Линдквиста нужно положить  $\mu_{a,v} = \mu_0 M(\delta_{a,v}/R_{a,v})$ , где толщина пристенного слоя  $\delta_{a,v}$  зависит от касательных напряжений в потоке у стенки [6]; введение зависимости  $\mu$  от  $|\partial p/\partial x|$  позволяет учесть вклад деформируемости эритроцитов в сопротивление капилляров [6, 7]. Границные условия для (1.1)–(1.3) в соответствии со схемой на фиг. 1 задаются в виде

$$x = 0: p_a - p = z_i u; \quad x = l: p - p_v = 0 \quad (1.5)$$

$$y = 0: p_a - p_v = -Z_s Q_a, \quad Q_a = -Q_v \quad (1.6)$$

$$y = a: p_A - p_a = -Z_+ Q_a, \quad p_v - p_v = -Z_- Q_v \quad (1.7)$$

В случае замены (1.3) на (1.4) условия (1.5) не используются.

При моделировании регуляторных реакций микрососудов нужно принимать во внимание физиологические данные о том, что объектом регулирования могут быть сопротивления (точнее — радиусы) всех сосудов сети, т. е. величины  $R_{a,v}, k_x, m, K, z, Z_s, Z_\pm$  в (1.1)–(1.7). Центральной регуляции соответствует их прямая зависимость от времени, местной регуляции механической природы — зависимость от трансмурального давления  $p - p_e$ , где  $p_e$  — внешнее давление на сосудистую стенку, и от сдвиговых напряжений

$$\tau_{a,v} = \frac{1}{2} R_{a,v} \left| \frac{\partial p_{a,v}}{\partial y} \right|, \quad \tau = \frac{\beta \mu |u|}{m^{3/2}} \quad (1.8)$$

соответственно в поперечных каналах и пористом блоке. Здесь  $\beta$  — коэффициент, характеризующий форму пор.

Сопротивления элементов сосудистой сети могут, согласно экспериментальным данным [8–10], зависеть еще от скоростей изменения механических факторов и предыстории состояния сосуда.

В общей форме для каждой регулируемой величины  $w$  постулируются соотношения

$$w = W(p - p_e, \gamma_w^\alpha), \quad \frac{\partial}{\partial t} \gamma_w^\alpha = \Gamma_w^\alpha(t, \gamma_w^\alpha, D_w, p - p_e, \tau_w) \quad (1.9)$$

где  $\gamma_w^\alpha (\alpha = 1, 2, \dots)$  — управляющие параметры,  $D_w$  — интенсивность внешней стимуляции,  $\tau$  определяется через (1.8). Обычно достаточно ограничиться не более чем двумя параметрами типа  $\gamma_w^\alpha$ . Операторы  $W, \Gamma_w^\alpha$  конструируются, исходя из гипотез и экспериментальных данных, касающихся механизмов регуляции. Не претендуя на исчерпывающую общность, приведем здесь соотношения для  $R_a, R_v$ , которые основаны на комбинации соображений, содержащихся в [11–14]

$$\lambda_{pa,pv} \frac{\partial (p_{a,v} - p_e)}{\partial t} + F_{a,v}(y, p_{a,v} - p_e, R_{a,v}, \gamma_{a,v}^\alpha) = \lambda_{Ra,Rv} \frac{\partial R_{a,v}}{\partial t} \quad (1.10)$$

$$\Lambda_{a,v}^a \frac{\partial \gamma_{a,v}^a}{\partial t} = f_{a,v}^a \left[ y, D, \gamma_{a,v}^a p_{a,v} - p_e, \tau_{a,v} \frac{\partial}{\partial t} (p_{a,v} - p_e), \frac{\partial \tau_{a,v}}{\partial t} \right] \quad (1.11)$$

Релаксационные времена  $\lambda_{pa, pv}$ ,  $\lambda_{Ra, Rv}$ ,  $\Lambda_{a,v}^a$  зависят от тех же аргументов, что и функции  $F_{a,v}$ ,  $f_{a,v}^a$  соответственно. Уравнение (1.10) учитывает наличие у сосудистой стенки пассивных вязкоупругих свойств, а соотношения типа (1.11) отражают химические процессы в ней, подверженные влиянию механических факторов; в обоих уравнениях учтена начальная неоднородность свойств по координате  $y$ . Внешнее давление  $p_e(t)$  в рассматриваемой постановке считается заданным; для учета влияющих на него в действительности процессов транскапиллярной фильтрации [15, 16] возможно дополнение системы (1.1)–(1.10) соответствующими уравнениями массопереноса в ячейке; их нужно добавлять также при изучении тканевого газообмена, переноса индикаторов и т. п.

Объектами регулирования могут быть также сосредоточенные сопротивления  $Z_\pm$ ,  $Z_s$ ,  $z_r$ . Помня, что в действительности это кровеносные сосуды со свойствами, в принципе не отличающимися от свойств сосудов  $a, v$ , допустимо принять для каждого сопротивления соотношения, аналогичные (1.10), (1.11)

$$\begin{aligned} \lambda_p \frac{\partial (p - p_e)}{\partial t} + \Psi(p - p_e, Z, \gamma) &= \lambda_z \frac{\partial Z}{\partial t} \\ \frac{\partial \gamma}{\partial t} &= \psi \left[ D, \gamma, p - p_e, Q, \frac{\partial (p - p_e)}{\partial t}, \frac{\partial Q}{\partial t} \right] \end{aligned} \quad (1.12)$$

где  $Z$  — любое из названных сопротивлений,  $Q$  — расход через него,  $p$  — давление на его входе. Входящие в (1.12) коэффициенты и функции, вообще говоря, различны для разных сопротивлений.

Начальные условия для системы (1.1)–(1.12) в соответствии с ее порядком заключаются в задании при  $t = 0$  величин  $R_{a,v}$ ,  $p_{a,v}$ ,  $m$ ,  $\gamma_{a,v}^a$  и т. д.

В заключение этого раздела приведем некоторые полезные интегралы уравнений (1.1)–(1.3). Из уравнения неразрывности для пористого блока следует

$$u = u|_{x=0} - \int_0^x \frac{\partial m}{\partial t} dx, \quad u|_{x=l} = u|_{x=0} - \frac{\partial}{\partial t} \int_0^l m dx \quad (1.13)$$

Складывая уравнения (1.1) и используя (1.13), находим с учетом второго граничного условия (1.6)

$$(Q_a + Q_v) = - \frac{\partial}{\partial t} \int_0^y \left[ \pi (R_a^2 + R_v^2) + 2b \int_0^l m dx \right] dy$$

**2. Решение при заданных регуляторных реакциях.** В качестве примера использования модели рассмотрим далее решение для случая, когда  $R_a, R_v, Z_\pm, z_r, Z_s$  зависят только от времени,  $k_x = k_x(x, t)$ , а  $m = \text{const}$ . Этот случай соответствует не только упомянутой в разд. 1 центральной регуляции, когда уравнения (1.10)–(1.11) редуцируются к зависимостям  $R_{a,v} = R_{a,v}(y)$ ,  $k_x = k_x(x, y)$ ,  $y = y(D(t))$ , но и моделированию экспериментов, в которых регистрируются радиусы сосудов. Пренебрежение изменениями  $m$  со временем означает, что они малы и происходят не слишком быстро (именно так меняются параметры в капиллярной ячейке).

При постоянных коэффициентах вязкости из уравнений (1.1)–(1.3) можно получить, исключая  $p$  и  $u$ , следующие уравнения:

$$\frac{\partial}{\partial y} \left( \frac{R_a^4}{\mu_a} \frac{\partial p_a}{\partial y} \right) - 8 \frac{\partial R_a^2}{\partial t} = - \frac{\partial}{\partial y} \left( \frac{R_v^4}{\mu_v} \frac{\partial p_v}{\partial y} \right) + 8 \frac{\partial R_v^2}{\partial t} \quad (2.1)$$

$$p_a - p_v = \frac{z_t^*}{2b} \left[ -\frac{\partial \pi R_a^2}{\partial t} + \frac{\pi}{8} \frac{\partial}{\partial y} \left( \frac{R_a^4}{\mu_a} \frac{\partial p_a}{\partial y} \right) \right] \quad (2.2)$$

$$z_t^* = z_t + \mu l k^{-1}, \quad k^{-1} = \frac{1}{l} \int_0^l \frac{dx}{k(x, y)}$$

Уравнения (2.1), (2.2) вместе с уравнениями, связывающими  $p_{a, v}$  и  $R_{a, v}$  образуют систему для нахождения  $R_{a, v}$ ,  $p_{a, v}$  после разрешения которой можно найти параметры капиллярной ячейки.

Сделав непринципиальные упрощения ( $\mu_a = \mu_v = \mu$ ,  $R_v = \text{const}$ ), и введя безразмерные величины (знак градус при  $y$ ,  $p$ ,  $Q$  далее опущен)

$$y^\circ = \frac{y}{a}, \quad p^\circ = \frac{p - p_v}{p_A - p_v}, \quad Q^\circ = \frac{Q}{p_A - p_v} \frac{\mu l}{2abk}, \quad z_t^\circ = \frac{z_t^* k}{\mu l}$$

получим уравнение для определения  $p_a$  через  $R_a$ ,  $R_v$

$$\frac{\partial^4 p_a}{\partial y^4} - \Lambda^2 \frac{\partial^2 p_a}{\partial y^2} + 2L = 0 \quad (2.3)$$

$$L = \frac{128ba^4\mu^2 R_a \dot{R}_a}{\pi R_a^8 \eta z_t^* (p_A - p_v)}, \quad \Lambda^2 = \frac{16(1+\eta)ba^2\mu}{\pi R_a^4 z_t^* \eta}, \quad \eta = \frac{R_v^4}{R_a^4}$$

$$\vartheta \equiv \frac{\pi z_t^* R_a \dot{R}_a \eta}{b(1+\eta)(p_A - p_v)}, \quad \frac{2L}{\Lambda^2} = \frac{\Lambda^2 \vartheta}{1+\eta}$$

Из (2.2) следует

$$p_a = k_1 \operatorname{sh} \Lambda y + K_2 \operatorname{ch} \Lambda y + A + A_1 y + \frac{Ly^2}{\Lambda^2} \quad (2.4)$$

$$p_v = -\frac{1}{\eta} (K_1 \operatorname{sh} \Lambda y + K_2 \operatorname{ch} \Lambda y) + A + A_1 y + \frac{Ly^2}{\Lambda^2} + \vartheta \quad (2.5)$$

Выражения для расходов имеют вид

$$Q_a = -x \left( 1 + \frac{1}{\eta} \right) \left[ \Lambda (K_1 \operatorname{ch} \Lambda y + K_2 \operatorname{sh} \Lambda y) + \frac{2L}{\Lambda^2} y + A_1 \right] \quad (2.6)$$

$$Q_v = -x \left( 1 + \frac{1}{\eta} \right) \left[ -\Lambda (K_1 \operatorname{ch} \Lambda y + K_2 \operatorname{sh} \Lambda y) + \eta \left( \frac{2L}{\Lambda^2} y + A_1 \right) \right], \quad x = (\Lambda^2 z_t^\circ)^{-1}$$

Из второго условия (1.6) следует  $A_1 = 0$ , так что

$$Q_s \equiv -Q_a|_{y=0} = x \left( 1 + \frac{1}{\eta} \right) \Lambda K_1 \quad (2.8)$$

$$Q_+ \equiv -Q_a|_{y=1} = x \left( 1 + \frac{1}{\eta} \right) \left[ \Lambda (K_1 \operatorname{ch} \Lambda + K_2 \operatorname{sh} \Lambda) + \frac{2L}{\Lambda^2} \right]$$

Определение  $K_1$ ,  $K_2$  (величина  $A$  не представляет здесь интереса) из граничных условий (1.6), (1.7) приводит к формулам

$$K_1 = \frac{[1 + \delta \chi - \vartheta (\operatorname{ch} \Lambda + x \Lambda Z_e^\circ \operatorname{sh} \Lambda)]}{\Delta (1 + 1/\eta)}, \quad K_2 = \frac{[x \Lambda Z_e^\circ (1 + \delta \chi) + \vartheta (\operatorname{sh} \Lambda + x \Lambda Z_e^\circ \operatorname{ch} \Lambda)]}{\Delta (1 + 1/\eta)}$$

$$\Delta = [1 + (x \Lambda)^2 Z_s^\circ Z_e^\circ] \operatorname{sh} \Lambda + x \Lambda (Z_s^\circ + Z_e^\circ) \operatorname{ch} \Lambda, \quad \chi = 1 - (\eta z_t^\circ)^{-1} Z_d^\circ$$

$$Z_{s, \pm}^\circ = (2abk/\mu l) Z_{s, \pm}, \quad Z_e^\circ = Z_+^\circ + Z_-^\circ, \quad Z_c^\circ = Z_+^\circ - \eta Z_-^\circ \quad (2.9)$$

Распределение скоростей в ячейке  $u(y)$  находится из (1.1), (2.6). В безразмерной форме

$$u^\circ(y^\circ) \equiv \frac{u\mu l}{k(p_A - p_V)} = \frac{\partial Q^\circ}{\partial y^\circ} = \chi \left( 1 + \frac{1}{\eta} \right) \left[ \Lambda^2 (K_1 \operatorname{sh}\Lambda + K_2 \operatorname{ch}\Lambda) + \frac{2L}{\Lambda^2} \right] \quad (2.10)$$

В стационарном случае ( $\vartheta = 0, L = 0$ ) из (2.8)–(2.10) следует

$$K_1 = \Delta^{-1} (1 + 1/\eta)^{-1}, \quad K_2 = \Delta^{-1} (1 + 1/\eta)^{-1} \chi \Lambda Z_s^\circ$$

$$Q_s = [(Z_s^\circ + Z_e^\circ) \operatorname{ch}\Lambda + (\Lambda z_t^\circ + Z_s^\circ Z_e^\circ / \Lambda z_t^\circ) \operatorname{sh}\Lambda]^{-1} \quad (2.11)$$

$$Q_+ = (\Lambda z_t^\circ)^{-1} (Z_s^\circ \operatorname{sh}\Lambda + \Lambda z_t^\circ \operatorname{ch}\Lambda) Q_s \quad (2.12)$$

$$u^\circ = (z_t^\circ)^{-1} (Z_s^\circ \operatorname{sh}\Lambda y + \Lambda z_t^\circ \operatorname{ch}\Lambda y) Q_s \quad (2.13)$$

Степень неоднородности потока  $\xi$  по ячейке, определяемая по [1] как  $(u_{\max}^\circ - u_{\min}^\circ)/(Q_+ - Q_s)$ , и относительный расход через шунт  $\xi_s$  в данном случае суть

$$\xi = \Lambda \frac{[Z_s^\circ (\operatorname{ch}\Lambda - 1) + \Lambda z_t^\circ \operatorname{sh}\Lambda]}{[Z_s^\circ \operatorname{sh}\Lambda + \Lambda z_t^\circ (\operatorname{ch}\Lambda - 1)]} \quad (2.14)$$

$$\xi_s = \Lambda z_t^\circ (Z_s^\circ \operatorname{sh}\Lambda + \Lambda z_t^\circ \operatorname{ch}\Lambda)^{-1} \quad (2.15)$$

При  $Z_{\pm}^\circ = 0$  формулы (2.11)–(2.13) совпадают с известными [17].

**3. Обсуждение результатов.** Соотношения (2.11)–(2.13), верные для стационарного течения, остаются приближенно справедливыми для случая, когда в системе происходят медленные изменения. Условие  $\vartheta \ll 1$  является для этого необходимым; достаточные условия имеют вид

$$|\vartheta\chi| \ll 1, \quad \vartheta \operatorname{ch}\Lambda \ll 1, \quad \chi\vartheta Z_e^\circ \Lambda \operatorname{ch}\Lambda \ll 1 \quad (3.1)$$

означающий, что вклад изменений объема системы (эффект вытеснения) в мгновенные значения расхода увеличивается с ростом  $\Lambda$ ,  $Z_{\pm}^\circ$  и с уменьшением  $z_t^\circ$ . При выполнении (3.1) согласно (2.14), (2.15) относительное распределение потоков в системе не зависит от  $Z_{\pm}^\circ$ , тогда как  $Z_s^\circ$  и  $z_t^\circ$  существенны.

В силу введенных при обезразмеривании масштабов суммарный расход есть отношение сопротивления капиллярной ячейки к общему сопротивлению системы. Легко увидеть из (2.12), что существуют широкие возможности управления системой таким образом, чтобы, например, поддерживать постоянное общее сопротивление при одновременном увеличении потока через ячейку ( $Q_+ - Q_s$ ) или, наоборот, сохранить этот поток при увеличении  $Q_+$  и т. д.

*Поток через капиллярную ячейку*  $Q_c = Q_+ - Q_s$ , как следует из (2.11), (2.12), увеличивается при росте сопротивления шунта  $Z_s^\circ$ ; предельные значения расхода и их отношение определяются формулами

$$Q_c^{\max} = \frac{\operatorname{sh}\Lambda}{\Lambda z_t^\circ \operatorname{ch}\Lambda + Z_e^\circ \operatorname{sh}\Lambda}, \quad Q_c^{\min} = \frac{\operatorname{ch}\Lambda - 1}{\Lambda z_t^\circ \operatorname{sh}\Lambda + Z_e^\circ \operatorname{ch}\Lambda}$$

$$\frac{Q_c^{\max}}{Q_c^{\min}} = \frac{\operatorname{sh}\Lambda}{\operatorname{ch}\Lambda - 1} \frac{(Z_e^\circ / \Lambda z_t^\circ) \operatorname{ch}\Lambda + \operatorname{sh}\Lambda}{(Z_e^\circ / \Lambda z_t^\circ) \operatorname{sh}\Lambda + \operatorname{ch}\Lambda}$$

При  $Z_s^\circ = 0$  значение этого отношения лежит в пределах от 1 до 2; при  $Z_s^\circ \neq 0$  — от 1 до  $\infty$ , причем резкое увеличение наступает при  $\Lambda \operatorname{th}\Lambda < Z_s^\circ / z_t^\circ$ . Таким образом, чувствительность расхода через ячейку к сопротивлению шунта растет вместе с  $Z_s^\circ / z_t^\circ$ , и падает с ростом  $\Lambda$ . Неоднородность потока в ячейке при закрытом шунте и малых  $\Lambda$  невелика [1], но заметно растет с уменьшением  $Z_s^\circ / z_t^\circ$  (см. (2.14)).

Суммарный поток через систему  $Q_+$  увеличивается за счет присутствия шунта, хотя остается конечным даже при  $Z^* \rightarrow 0$  благодаря сопротивлению подводящего канала  $a$  и предшествующего входного сопротивления  $Z^*_+$ . По порядку величины  $Q_+$  и  $Q^*$ , одинаковы, если  $\Lambda \ll 1$ ,  $x Z^* < 1$ ; в противном случае расход  $Q_+$  намного превышает  $Q^*$ . Это хорошо видно из формулы (2.15), показывающей, что  $\xi_s$  убывает с ростом  $\Lambda$  или  $Z^*$ , и что

$$\xi_s < \min \left( \frac{1}{\operatorname{ch} \Lambda}, \frac{1}{Z^*/\Lambda z_t + 1} \right)$$

Обнаружение в эксперименте [18] значения  $\xi_s \approx 1/2$  приводит к выводу о том, что в этих опытах имели дело с ситуацией, когда  $Z^* \approx z^*$ , поскольку при отсутствии внешних конструкторных воздействий  $\Lambda < 1$ . Перенасыщение крови кислородом вызывало вазоконстрикцию и увеличивало  $\xi_s$  практически до единицы. Как видно из (2.15), это возможно только при  $\Lambda z^* \gg 1$ ,  $Z^*/\Lambda z^* \ll 1$ ,  $\Lambda < 1$ . Следовательно, сопротивление «терминалных» артериол  $z^*$ , росло намного сильнее, чем поперечной артериолы  $a$  (часть ее входит в состав шунта).

Уменьшение в опытах давления  $p_A$  вызывало известную реакцию Бейлисса. Вначале, несмотря на снижение  $p_A$ , произведения  $Q_s(p_A - p_V)$ ,  $Q_+(p_A - p_V)$  сохранялись почти постоянными по сравнению с контролем, т. е. параметр  $\xi_s$  не менялся благодаря расширению сосудов. Этому явлению соответствует одновременное и согласованное уменьшение параметров  $Z^*$ ,  $z^*$  и  $\Lambda$ . Если бы  $z^*$  не оказывало влияния на реакцию, должна была бы наблюдаться обратная картина: увеличение шунтирования ( $рост \xi_s$ ). Чтобы его скомпенсировать, необходимо уменьшение  $z^*$ , такое, чтобы параметр  $\Lambda$  увеличивался. Из этого следует, что и в осуществлении реакции Бейлисса наиболее существенная роль принадлежит терминальным артериолам. Ясно также, что в контроле значение  $z^*$ , не было мало в сравнении с единицей.

При дальнейшем уменьшении давления  $p_A$  расход начинал падать, причем довольно сильно и так, что

$$\frac{Q_+^*(P_A - P_V)}{Q_+^*(P_{A0} - P_V)} > \frac{Q_s^*(P_A - P_V)}{Q_s^*(P_{A0} - P_V)}$$

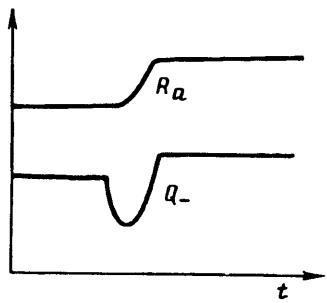
Здесь  $Q_{s0}^*$ ,  $Q_{+0}^*$ ,  $P_{A0}$  — значения, соответствующие исходным условиям. Очевидно, что в области давлений, где расход падал, уменьшался и коэффициент  $\xi_s$ . Отсюда следует, что при этих условиях продолжалось уменьшение не только  $\Lambda$ ,  $Z^*$ , (о чем свидетельствуют и прямые измерения), но и  $z^*$ . Тем самым подтверждается, что наиболее чувствительным к внешним воздействиям элементам системы являются терминальные артериолы, причем изменение параметра  $\Lambda$  оказывается противоположно изменению  $z^*$ .

**Эффект вытеснения** представляет интерес с точки зрения оценки его вклада в выходной расход  $Q_- \equiv Q_+|_{y=1} = Q_+ - \vartheta \Lambda^2 x (1 + 1/\eta)$  при переходе от одного стационарного течения к другому, отличающемуся значениями сопротивлений. Рассмотрим здесь частный случай, когда  $Z_\pm = 0$  и изменяются только радиус  $R_s$  входного поперечного сосуда и, следовательно, параметры  $\Lambda$ ,  $\eta$ . Заметим, что формулы для расходов содержат по две группы слагаемых, первая из которых соответствует квазистационарному режиму (пределу при  $\vartheta \rightarrow 0$ , рассмотренному выше) и ниже обозначена через  $Q_-^*$ , а другая, линейная по  $\vartheta$ , — эффектам вытеснения. Так

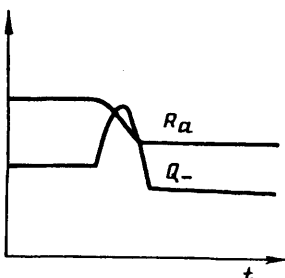
$$Q_- = Q_-^* + \vartheta x \Lambda \Delta^{-1} \Theta, \quad \Theta = \chi (\operatorname{ch} \Lambda + x \Lambda Z^* \operatorname{sh} \Lambda) - 1 - \Lambda \Delta$$

Знак  $\Theta$  заранее не определен и, вообще говоря, может изменяться со временем; следовательно, характер вклада переходного процесса в расход может быть достаточно сложным. Когда  $Z_\pm = 0$ , из приведенных выше формул находим

$$\chi = 1, \quad \Delta = \operatorname{sh} \Lambda + x \Lambda Z^* \operatorname{ch} \Lambda, \quad \Theta = 2 \operatorname{sh} \Lambda \left( \operatorname{th} \frac{\Lambda}{2} - \Lambda \right) + \frac{Z^*}{z_t} \left( \frac{\operatorname{th} \Lambda}{\Lambda} - 1 \right)$$



Фиг. 2



Фиг. 3

откуда следует, что всегда  $\Theta < 0$  (этот вывод может нарушаться при  $Z_{\pm}^{\circ} \neq 0$ ). Таким образом, при достаточно малых значениях внешних сопротивлений  $Z^{\circ}_{\pm}$  для переходных процессов с ростом  $R_a$ , когда  $\vartheta \rightarrow 0$ , имеем  $Q_- < Q_-^*$ ; при убывании  $R_a$  верно обратное неравенство  $Q_- \geq Q_-^*$ . Это означает, что процесс начнется в первом случае с падения расхода, которое затем сменится ростом, а во втором — с роста расхода, который сменится на падение (фиг. 2, 3).

Представленные в разд. 1 соотношения образуют основу для решения большого круга частных задач, как сходных с рассмотренными ранее [1—5, 17], так и новых. В их число входят: обобщение теории [19], анализирующей различия между течениями с поддержанием на входе в систему давления или расхода, изучение особых видов потери устойчивости по аналогии с [11, 12, 14], выяснение возможных следствий реакции сосудов на расход в опытах [10] со стационарным и пульсирующим кровотоком, обобщение соответствующих теоретических построений [13] и т. д. Более полное представление о перспективах применения обсуждаемой модели к задачам физиологии может дать обзор [20].

#### СПИСОК ЛИТЕРАТУРЫ

1. Регирер С. А., Утушкина Н. С., Шадрина Н. Х. О течении крови в капиллярной сети мышцы//Изв. АН СССР. МЖГ. 1986. № 6. С. 79—88.
2. Регирер С. А., Шадрина Н. Х. Течение крови в капиллярной ячейке мышцы//Изв. АН СССР. МЖГ. 1989. № 5. С. 94—100.
3. Левтov B. A., Шустова Н. Я., Регирер С. А. и др. Топографическая и гидродинамическая неоднородность терминального русла сосудов икроножной мышцы кошки//Физиол. журн. СССР. Т. 71. № 9. С. 1112—1123.
4. Регирер С. А., Шадрина Н. Х. Течение крови в капиллярной ячейке мышцы. Гидродинамическое взаимодействие капилляров//Изв. АН. МЖГ. 1992. № 6. С. 117—124.
5. Лосев Е. С. О распределении эритроцитов в микроциркуляторной ячейке//Изв. АН СССР. МЖГ. 1986. № 6. С. 89—93.
6. Левтov B. A., Регирер С. А., Шадрина Н. Х. Реология крови. М.: Медицина, 1982. 270 с.
7. Гидродинамика кровообращения. М.: Мир, 1971. 270 с.
8. Хаютин В. М., Рогоза А. Н. Регуляция кровеносных сосудов, порождаемая приложенными к ним механическими силами//Физиология кровообращения. Регуляция кровообращения. Л., 1986. С. 37—66.
9. Khayutin V. M. Active arterial function: prompt adaptation of the vascular lumen to the blood flow velocity and viscosity//Contemp. Probl. Biomed. Moscow; Boca Raton, 1990. P. 142—207.
10. Дворецкий Д. П. Роль динамической деформации кровеносных сосудов в регуляции их тонуса//Физиол. журн. СССР. 1990. Т. 76. № 8. С. 961—976.
11. Регирер С. А., Руткевич И. М. Волновые движения жидкости в трубках из вязкоупругого материала. Волны малой амплитуды//Изв. АН СССР. МЖГ. 1975. № 1. С. 45—53.
12. Регирер С. А., Руткевич И. М., Усик П. И. Модель сосудистого тонуса//Механика полимеров. 1975. № 4. С. 585—589.
13. Никольский В. П. Эффект стабилизации градиента давления в малых артериях при изменениях кровотока: Автореф. дис. ... канд. физ.-мат. наук. М.: МФТИ, 1987. 24 с.
14. Киреева Е. Е. Волновые движения в активных вязкоупругих трубках: Автореф. дис. ... канд. физ.-мат. наук. М.: МГУ, 1989. 15 с.
15. Моисеева И. Н. Транскапиллярная фильтрация жидкости//Соврем. пробл. биомеханики. Вып. 3. Рига, 1986. С. 137—164.

16. *Мосеева И. Н., Регирер С. А.* Модель транскапиллярной фильтрации в перфузируемом кровью участке скелетной мышцы//*Матем. биофизика*. Красноярск, 1985. С. 105—115.
17. *Регирер С. А., Шадрина Н. Х., Егоров В. А., Утушкина Н. С.* Влияние шунтирования на кровоток в капиллярной ячейке скелетной мышцы: Отчет № 3253. Ин-т мех. МГУ. М. : 1986. 35 с.
18. *Lindblom L, Arfors K-E.* Non-homogeneous blood flow distribution in the rabbit tenuissimus muscle//*Acta Physiol. Scand.* 1984. V. 122. № 3. P. 225—233.
19. *Никитин Л. В., Хаютин В. М.* Теория измерения гидравлического сопротивления сосудов при воздействии управляющих сигналов//*Физиол. журн. СССР.* 1962. Т. 48. № 8. С. 967—975.
20. *Егоров В. А., Москал В. М., Регирер С. А., Шадрина Н. Х.* Механогенные реакции сосудов при пульсирующем потоке: теоретические предсказания//*Физиол. журн. СССР.* 1991. Т. 77. № 9. С 115 — 122.

Москва  
Санкт-Петербург

Поступила в редакцию  
13.XII.1991